

데이터 퓨전을 이용한 얼굴영상 인식 및 인증에 관한 연구*

2D Face Image Recognition and Authentication Based on Data Fusion

박 성 원 · 권 지 웅 · 최 진 영

서울대학교 전기컴퓨터공학부, 자동화시스템공동연구소

Sung-Won Park, Ji-Woong Kwon, and Jin-Young Choi

School of Electrical Engineering & Computer Science, ASRI, Seoul National University

E-mail : {swpark, jwkwon, jychoi}@neuro.snu.ac.kr

ABSTRACT

얼굴인식은 이미지의 많은 변동(표정, 조명, 얼굴의 방향 등)으로 인해 한가지 인식 방법으로는 높은 인식률을 얻기 어렵다. 이러한 어려움을 해결하기 위해, 여러 가지 정보를 융합시키는 데이터 퓨전 방법이 연구되었다. 기존의 데이터 퓨전 방법은 보조적인 생체 정보(지문, 음성 등)를 융합하여 얼굴인식기를 보조하는 방식을 취하였다. 이 논문에서는 보조적인 생체 정보를 사용하지 않고, 기존의 얼굴인식방법을 통해 얻어지는 상호보완적인 정보를 융합하여 사용하였다. 개별적인 얼굴인식기의 정보를 융합하기 위해, 전체적으로는 Dempster-Shafer의 퓨전이론에 근거하면서, 핵심이 되는 질량함수를 새로운 방식으로 재정의한 퓨전모델을 제안하였다. 제안된 퓨전모델을 사용하여 개별적인 얼굴인식기의 정보를 융합한 결과, 보조적인 생체정보 없이, 개별적인 얼굴인식기보다 나은 인식률을 얻을 수 있었다.

Keywords : 얼굴인식, 데이터 퓨전, Dempster-Shafer 이론, 질량함수

I. 서 론

얼굴인식[2]은 현재 가장 활발하게 연구가 진행되고 있는 주제 중 하나로서 다양한 방식이 제안되었지만, 그 중 충분히 높은 인식률을 보이는 한 가지 방법이 없다. 얼굴영상은 조명의 밝기 및 얼굴의 방향과 표정에 따라 변이가 크며, 따라서 2-D 얼굴영상인식은 전형적인 ill-posed problem이기 때문이다. 따라서 얼굴영상인식은 데이터 퓨전[3,4], 즉 각기 다른 장단점을 가진 두 개 이상의 독립된 시스템들로부터 산출된 결정들을 융합하여 더 나은 결정을 획득하는 이론을 이용해볼 만한 주제이다.

현재의 얼굴영상인식에 관한 연구는 가장 성능이 좋다고 평가되는 은닉마코브모델[11,12,13]이나 eigenface[15] 이론 등을 단독으로 적용하여 인식률을 개선시키려는 시도가 일반적이며, 데이터 퓨전 등을 이용하여 다수의 독립된 얼굴인식 시스템을 융합하려는 시도는 경미하였다. 데이터 퓨전을 적용한 연구사례의 대부분은

지문인식 및 음성인식 등 얼굴인식보다 인식률이 높은 생체인식법과 얼굴인식을 결합[6,7]하여 전반적인 개인인식성능을 향상시킨 것일 뿐, 얼굴인식 자체의 성능을 향상시킨 것은 아니다.

이와 달리, 이 논문에서는 가장 일반적으로 사용되는 데이터 퓨전이론의 하나인 Dempster-Shafer 퓨전이론[9,10]을 이용하여 얼굴영상인식 시스템의 성능을 향상시킬 수 있음을 보인다. 또한 본 논문에서는 개별 모듈의 신뢰도를 반영하는 질량함수(mass function) 퓨전 규칙을 제안하고 향상된 인식결과를 제시함으로써 Dempster-Shafer 퓨전이론을 확장하였다.

개별 모듈로는 은닉마코브모델, eigenfaces, 오류역전파신경망[16,17,18], 특징점추출법[5,8,14,19,20]의 4가지 얼굴영상인식 모듈을 사용했다(그림 1). 이 4개의 모듈은 얼굴영상의 각각 다른 종류의 변이에 강인하다는 장단점을 가지고 있으므로 데이터 퓨전을 적용함으로써 더 향상된 성능을 얻을 수 있음을 보인다. 이 논문에서는 개별 모듈의 성능향상 보다는 퓨전시스템과 개별 모듈의 인식률을 비교해보는 것을 목표로 하였다.

* 이 연구는 두뇌한국21사업과 뇌과학연구사업의 지원에 의해 이루어졌습니다.

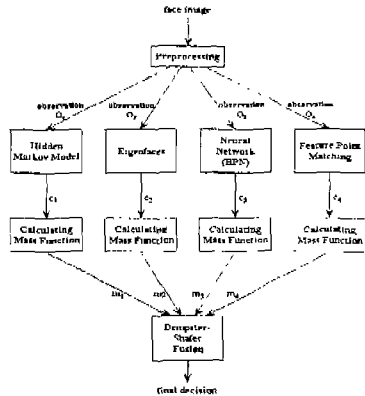


그림 1. 4개의 모듈을 갖는
제안된 퓨전 시스템

II. Overview : Dempster-Shafer 퓨전이론에 관한 이론적 배경

Dempster-Shafer 퓨전이론[1,2,3]은 다수의 모듈에서 산출된 서로 독립된 질량함수(mass function)가 정의되어 있을 때[9,10], 퓨전시스템의 질량함수를 구하는 이론이다. 주어진 입력패턴이 각 클래스에 속한다고 볼 수 있는 신뢰도(belief)를 클래스별로 정량화한 것이다.

서로 배제적인 명제들(mutually exclusive propositions)로 이루어진 전체 집합 Θ 이라 하고, 2^Θ 를 Θ 의 power set으로써 모든 가능한 명제들의 조합을 포함한다고 하면 질량함수 m 은 아래와 같은 성질을 갖는다.

$$m: 2^\Theta \rightarrow [0, 1], \quad m(\emptyset) = 0, \\ 0 \leq m(A) \leq 1 \text{ and } \sum_{A \in \Theta} m(A) = 1$$

개별 명제들의 조합 A 에 대한 정량화된 총 신뢰도를 할당한 값인 신뢰도 함수 bel 은 아래와 같이 정의된다[9].

$$bel(A) = \sum_{X \subseteq A} m(X), \text{ for all } A \subseteq \Theta \quad (2.1)$$

그리고, n 개의 모듈로부터 독립적으로 산출된 질량함수값 m_1, m_2, \dots, m_n 을 퓨전한 퓨전시스템 전체의 질량함수값은 다음과 같다.

$$m(A) = \frac{\sum_{B_1 \cap B_2 \cap \dots \cap B_n = A} m_1(B_1)m_2(B_2)\dots m_n(B_n)}{1 - k} \quad (2.2)$$

where $k = \sum_{B_1 \cap B_2 \cap \dots \cap B_n = \emptyset} m_1(B_1)m_2(B_2)\dots m_n(B_n)$

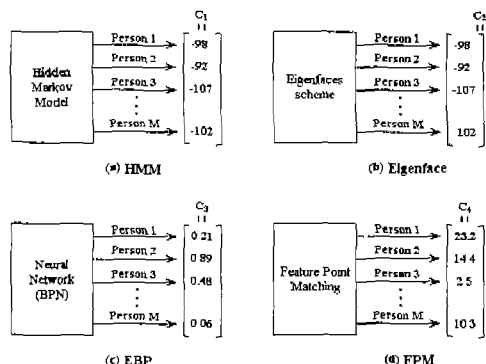


그림 2. 각 모듈별 출력값

III. 질량함수

각각의 모듈의 출력값 $c_i = [c_{i1}, c_{i2}, \dots, c_{iM}]^T$ ($i=1, \dots, 4, M$ 은 클래스의 수)는 각기 다른 범위를 갖고, 크기에 따른 신뢰도도 각기 다르다[그림 2]. 따라서, c_i 를 아래와 같은 규칙에 의해 선형변환시킨 $c'_i = [c'_{i1}, c'_{i2}, \dots, c'_{iM}]^T$ 을 구한다.

- I) 모든 c'_i 는 $[0,1]$ 사이에 존재한다.
- II) c_{ij} 의 가장 큰 값은 $c'_{ij}=1$ 로 변환한다.
- III) c_{ij} 의 가장 작은 값은 $c'_{ij}=0$ 로 변환한다.
- IV) 해당 클래스의 신뢰도가 높을수록 큰 값으로 변환되게 한다.

이때, i 번째 모듈의 질량함수 $m_i(A)$ 는 다음과 같이 정의된다[9].

$$m_i(A) = \begin{cases} \frac{c'_{ij}}{n}, & \text{if } A = \{C_j\} \text{ for } i \in KL \\ 1 - \sum_{l \in KL} m_i(\{C_l\}), & \text{if } A = \emptyset - \bigcup_{l \in KL} \{C_l\} \\ 0 & \text{otherwise} \end{cases}$$

여기서, KL 은 c'_i 의 k 개의 가장 큰 요소들의 색인(index)의 집합을 의미한다.

이렇게 각 모듈에 대한 질량함수를 구하면, 식(2.2)에 의하여 각 클래스에 해당되는 퓨전시스템의 질량함수 $m(\{C_j\})$ ($j=1, \dots, N, N$ 은 클래스 개수)를 구할 수 있다. 주어진 입력패턴이 클래스 C_j 에 속할 신뢰도는 식(2.1)에 의하여 $bel(\{C_j\}) = m(\{C_j\})$ 로 구해진다.

IV. Dempster-shafer 이론의 확장

본 논문에서는 퓨전 시스템에 사용된 개별 모듈의 인식률에 따라 질량함수를 다르게 재정의하여 보다 신뢰성 있는 모듈의 결정이 전체 퓨전 시스템의 결정에 더 많이 반영되도록 한

다면, 더 효율적인 퓨전 시스템이 될 것이라는 가정을 세웠다.

i 번째 개별 모듈이, 입력영상이 속할 가능성 순으로 선출한 R 개의 후보 클래스 안에 실제로 올바른 클래스가 속할 확률을 $P_i(R)$ 로 정의한다.

$$P_i(R) = \sum_{j=1}^R p(j), R=1, 2, \dots, 20$$

따라서 $P_i(R)$ 은 곧 i 번째 개별 모듈의 성능과 동일하며, 개별 모듈의 성능 테스트를 통해 퓨전 이전에 미리 알 수 있는 값이다.

이제 기존의 질량함수 $m_i(A)$ 가 주어졌을 때 모듈의 성능에 따른 가중치를 반영한 새로운 질량함수 $m'_i(A)$ 를 재정의한다.

$$m'_i(A) = \frac{(\alpha m_i(A))^{\beta(P_i(k)-\gamma)}}{K} \quad (4.1)$$

where $\alpha > 1, \beta > 0, \gamma < P_i(k)$ and $K = \sum_{A \in \Theta} (\alpha m'_i(A))^{\beta(P_i(k)-\gamma)}$

α 의 역할은 $m_i(A)$ 의 값을 $[0, \alpha]$ 사이의 더 넓은 영역에 선형적으로 재할당하는 것이다. γ 의 역할은 성능이 높은 모듈, 즉 $P_i(R)$ 값이 큰 모듈과 그렇지 않은 모듈을 구분하기 위한 경계값을 주는 것이다. $P_i(R)$ 가 상대적으로 크면, 즉 $\beta(P_i(R)-\gamma)$ 가 1보다 크면 우리는 기존의 질량함수 값이 큰 몇 개의 클래스에만 더 큰 질량함수 값을 할당하고, $\beta(P_i(R)-\gamma)$ 가 1보다 작은 경우에는 기존의 질량함수 값에 비해 재할당된 질량함수 값의 격차를 더 작게 준다.

V. 실험결과

20명의 사람들로부터, 조명 · 표정 · 얼굴방향에 변이를 준 120×100 픽셀의 흑백 얼굴영상 데이터베이스를 사용하였다. 20명에 대하여 1인당 30개의 얼굴영상을 취득하여, 그 중 20개는 학습을 위한 영상으로, 나머지 10개의 얼굴영상은 테스트를 위해 사용하였다.

4.1 개별 모듈의 인식률

개별 모듈의 인식률은 그림 3에서 나타나 있다. HMM은 4개의 모듈 중 가장 뛰어난 성능을 보였는데, 특히 얼굴방향과 표정 및 조명의 강도에 대해서 강인한 특성을 보였다. 두번째로 인식률이 높은 모듈인 eigenfaces의 경우 정면 얼굴에 대해서는 가장 높은 인식률을 보였지만, 얼굴방향에 변이가 있는 영상에 대해서는 인식률이 급격히 떨어지는 단점을 가졌다. 오류역전파신경망의 경우 학습에 사용된 것과 비슷한 영상을 테스트하면 비교적 큰 변이를 갖는 영

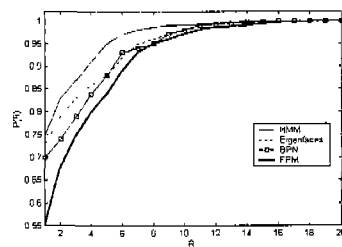


그림 3. 개별 모듈의 성능

상일지라도 인식이 잘 되지만, 학습에 비슷한 영상이 없는 경우는 4개의 모듈 중 가장 인식률이 낮았다. 따라서 학습 데이터의 선정에 인식률이 매우 의존적인 결과를 보였다.

마지막으로 특징점 추출법은 가장 인식률이 낮았는데, 특히 인식률의 개인차가 매우 커다. 정확한 3-D 머리 모델 구축에 실패한 개인의 경우 얼굴영상의 변이의 종류에 무관하게 인식률이 전반적으로 낮은 결과를 보이는 것으로 분석할 수 있다.

4.2 퓨전 시스템의 성능

개별 모듈이 가장 가능성 있는 후보로 뽑은 클래스가 실제로 입력영상이 속한 클래스일 확률 $P(1)$ 은 은닉마코브모델이 0.75, eigenfaces가 0.73, 오류역전파신경망이 0.68, 특징점추출법이 0.5였다. 식(4.1)에서 $\alpha=10, \beta=10, \gamma=0.5$ 로 고정시켰을 때 전체 퓨전 시스템의 인식률이 가장 높았고, $\beta(P_i(1)-\gamma)$ 를 계산한 값은 은닉마코브모델이 2.8, eigenfaces가 2.3, 오류역전파신경망이 1.8이었고 특징점추출법은 0.50으로, 특징점추출법만이 1.0 이하의 신뢰할 수 없는 모듈로 선택되었음을 알 수 있다.

퓨전 시스템은 어떤 모듈을 몇 개씩 퓨전하는지에 따라 성능이 달라짐을 알 수 있다. 총 4개의 모듈 중 2개, 3개, 4개의 모듈을 퓨전한 결과를 각각 그림 4, 5, 6에 나타내었다. 4개 중 어떤 모듈을 몇 개를 선택하여 퓨전하든, 모든 조합에서 퓨전 이전의 개별 모듈에 비해 퓨전 이후의 성능이 향상된 것을 알 수 있다. 퓨전에 사용된 모듈 수가 증가할수록 인식률은 전반적으로 높아졌다. 특히 모듈 수가 증가할수록 가장 낮은 인식률을 보였던 특징점 추출법이 전체 퓨전시스템에 미치는 악영향이 줄어들어 안정된 얼굴인식 시스템이 구축되었음을 알 수 있다.

전반적으로 좋은 결과를 산출한 3개 또는 4개의 모듈을 퓨전한 결과와 달리, 2개의 모듈만을 퓨전한 결과는 모듈 선택에 따라서 인식률의 편차가 커다. 2개 모듈의 퓨전시스템 중에서는 은닉마르코프모델과 eigenfaces의 퓨전이 가장 성능이 좋았다. 또한 개별 모듈에 비해 가장 주목할만한 향상을 보인 것은 그림 4.(d)이다.

두 모듈을 퓨전한 경우, 성능이 가장 우수한 모듈인 은닉마코브모델을 퓨전 시스템에 추가한 경우보다는 낮은 인식률을 보였지만, 개별 모듈 각각의 성능에 비해 퓨전 시스템의 성능 향상의 폭이 가장 커졌다. 그 원인으로는 오류역전파신경망과 eigenfaces는 각각 강인한 얼굴영상 변이의 종류가 서로 다르기 때문에 상호보완의 경향이 가장 큰 것으로 분석할 수 있다. 예를 들면 대체로 eigenfaces가 오류역전파신경망에 비해 인식률이 높지만, eigenfaces는 특히 얼굴 방향의 변이에 강인하지 못한 단점을 가지고 있다. 이에 반해 오류역전파신경망은 학습 데이터 선정에 의해 얼굴방향의 변이에 강인하게 할 수 있기 때문에 두 모듈의 퓨전 시스템은 퓨전의 시너지 효과가 더욱 크다.

5. 결론 및 요약

이 논문에서는 Dempster-Shafer 퓨전이론에 기반하여 4개의 독립된 얼굴인식모듈을 융합한 퓨전시스템을 제안하였고, 2~4개의 모듈을 퓨전한 결과 가장 성능이 뛰어난 단일 모듈보다 더 나은 모듈을 얻었다. 대체로, 퓨전시스템에 사용된 개별 모듈의 성능이 더 우수할 때 퓨전시스템의 성능도 우수했지만, 퓨전시스템에 사용된 모듈의 수가 늘어날수록, 성능이 나쁜 모듈이 내린 잘못된 결정의 영향은 줄어들었다. 또한 개별 모듈들이 서로 상이한 변이를 갖는 입력영상을 인식함에 있어서 강인한 경우 퓨전시스템은 더욱 주목할 만한 성능향상이 있었다.

참 고 문 현

- [1] 박성원, 데이터 퓨전을 이용한 얼굴영상 인식 및 인종에 관한 연구, 서울대학교 석사학위논문, 2000. 1.
- [2] R. Chellappa, C. Willson, and S. Sitohey, Human and machine recognition of faces : A survey, Proceedings of IEEE, vol. 83, 1995.
- [3] D. L. Hall and J. Llinas, An introduction to multisensor data fusion, Proceedings of the IEEE , vol. 85 Issue. 1 , pp. 6 23, 1997.
- [4] R. C. Luo and M. G. Kay, A tutorial on multisensor integration and fusion, Industrial Electronics Society, IECON '90., 16th Annual Conference of IEEE , vol. 1, pp. 707 -722, 1990.
- [5] K. M. Lam and H. Yan, Locating and Extracting the eye in human face images, Pattern Recognition, vol. 29, no. 5, pp. 771-779, 1996.
- [6] C. C. Chibelushi, F. Deravi, and J. S. Mason, Audio-visual person recognition: an evaluation of data fusion strategies , 1997 European Conference on Security and Detection, 1997.
- [7] K. Takahashi, H. Yamasaki, "Audio-visual sensor fusion system for intelligent sound sensing," Multisensor Fusion and Integration for Intelligent Systems, 1994. IEEE International Conference on MFI '94, pp. 493 500, 1994
- [8] C. C. Chibelushi, J.S.D. Mason, and F. Deravi, Feature-level data fusion for bimodal person recognition, 1997 Sixth International Conference on Image Processing and Its Applications, , vol. 1 , pp. 399 403, 1997.
- [9] J. W. Guan and D. A. Bell, Evidence Theory and its application, vol. 1, North-Holland, 1991.
- [10] G. G. Shafer, Mathematical Theory of Evidence. Princeton, NJ : Princeton Univ. Press, 1976.
- [11] L. R. Rabiner, A tutorial on hidden Markov models and selected applications in speech recognition, Proceedings of the IEEE , vol. 77, issue 2 , pp. 257 286, 1989.
- [12] F. Samaria and S. Young, HMM-based architecture for face identification, Image and Vision Computing, vol. 12, no. 8, pp. 537-543, 1994.
- [13] A. V. Nefian and M. H. Hayes, Hidden Markov Model for face recognition, in ICASSP 98, vol. 5, pp. 2721-2724, 1998.
- [14] K.-M. Lam and H. Yan, An analytic-to-holistic approach for face recognition based on a single frontal view, IEEE trans. Pattern Analysis and Machine Intelligence, vol. 20, No. 7, pp. 673-686, 1998.
- [15] M. Turk and A. Pentland, Face recognition using eigenfaces, Proceedings of International Conference on Pattern Recognition , pp. 586-591, 1991.
- [16] S. H. Lin, S. Y. Kung, Face recognition/detection by probabilistic decision-based neural network, IEEE trans. Neural Network, vol. 8, no. 1, pp. 114-140, 1997.
- [17] C. L. Giles, A. C. Tsoi, A. D. Back, Face Recognition : A Convolutional Neural Network Approach, IEEE trans. Neural Network, vol. 8, no. 1, pp. 98-113, 1997.
- [18] A. R. Mirhosseini, H. Yan, Neural Networks for learning human facial feature from labeled graph models, Intelligent Information Systems, 1996.. Australian and New Zealand Conference on, pp. 170 173, 1996.
- [19] A. R. Mirhosseini, H. Yan, and K. M. Lam, Adaptive deformable model for mouth boundary detection, Optical Eng., vol. 37, no. 3, pp. 869-875, 1998.
- [20] X. Jia and M. S. Nixon, Extending the feature vector for automatic face recognition, IEEE trans. Pattern Analysis and Machine

Intelligence, vol. 17, no. 12, pp. 1167-1176,
1995.

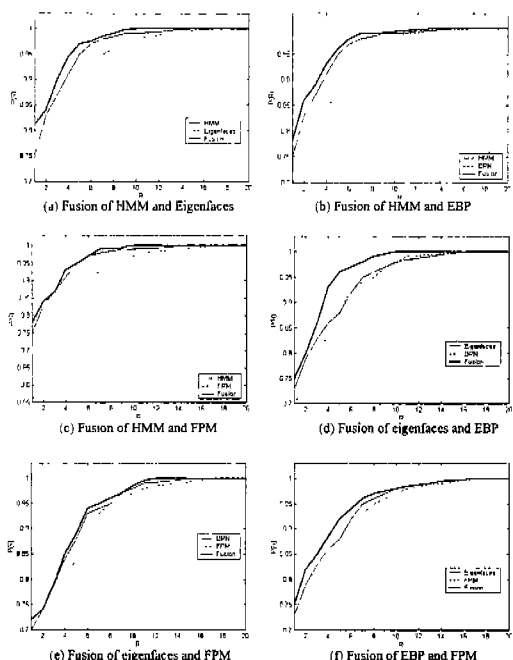


그림 4. 2개 모듈 퓨전 시스템

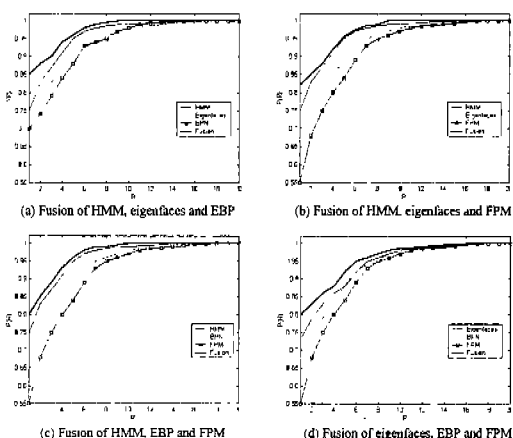


그림 5. 3개 모듈 퓨전 시스템

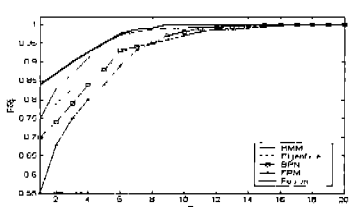


그림 6. 4개 모듈 퓨전 시스템